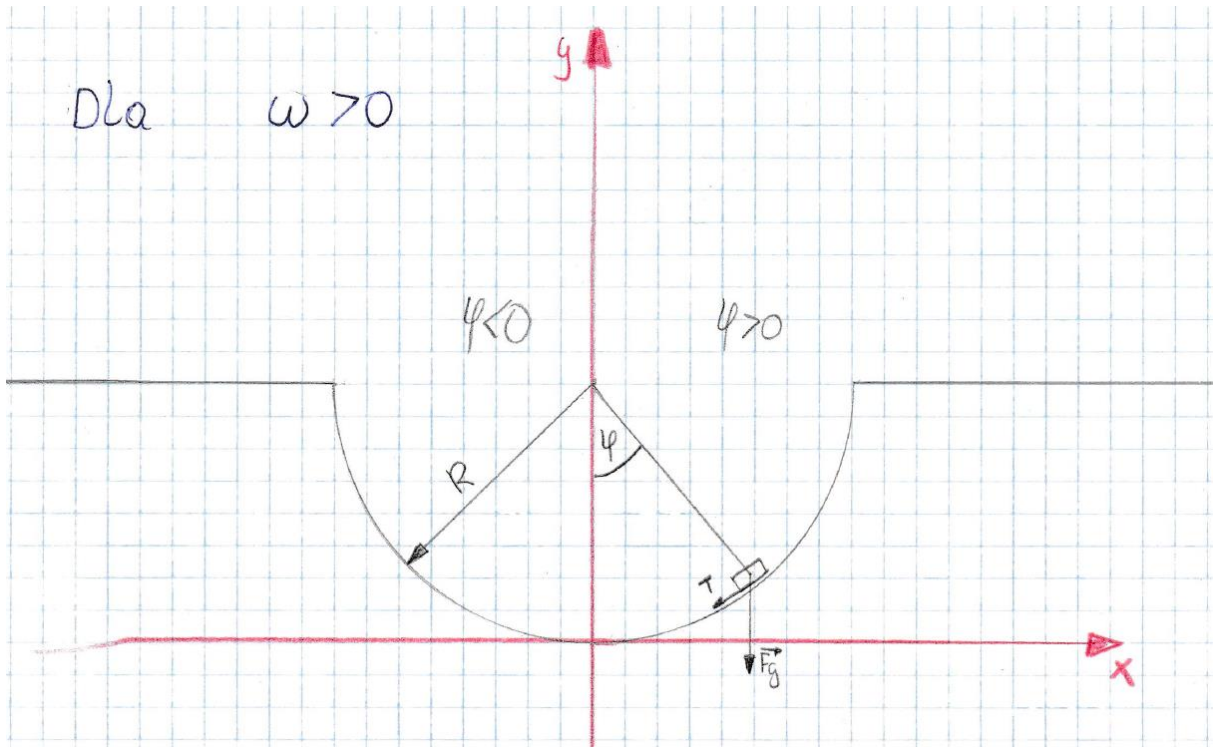


# Projekt Informatyka 2

## Bloczek poruszający się po półkolu.

---

### 1. Rysunek



### 2. Wyprowadzenie dynamicznych równań ruchu.

II Zasada dynamiki dla ruchu obrotowego.

Wzór (1.0)

$$I * \vec{\varepsilon} = \vec{M}$$

Moment bezwładności punktu materialnego o masie  $m$ .

Wzór (2.0)

$$I = m * r^2$$

Moment bezwładności dla pkt materialnego poruszającego się po półkolu o promieniu  $R$ .

Wzór (2.1)

$$I = m * R^2$$

Definicja przyspieszenia kątownego.

Wzór (3.0)

$$\vec{\varepsilon} = \frac{d^2\varphi}{dt^2}$$

Definicja prędkości obrotowej.

Wzór (3.1)

$$\omega = \frac{d\varphi}{dt}$$

Stąd

Wzór (3.2)

$$\vec{\varepsilon} = \frac{d\omega}{dt}$$

Wzór na siłę tarcia.

Wzór (4.1)

$$T = \mu * N$$

Siła nacisku dla naszego zagadnienia.

Wzór (4.2)

$$N = m(g \cos(\varphi) + \omega^2 * R)$$

Wzór na moment sił.

Wzór (5.1)

$$\vec{M} = \vec{r} \times \vec{F}$$

Dla naszego przypadku.

Wzór (5.2)

$$M = -mgR \sin(\varphi) - \mu \frac{\omega}{|\omega|} * m(g \cos(\varphi) + \omega^2 * R)$$

Połączmy teraz wzory (1.0) (2.1) (3.0) (4.2)

$$\frac{d^2\varphi}{dt^2} == -gR \sin(\varphi) - \mu \frac{\omega}{|\omega|} * m(g \cos(\varphi) + \omega^2 * R)$$

A teraz skorzystajmy z wzoru (3.1) oraz (3.2)

$$\begin{cases} \frac{d\varphi}{dt} = \omega \\ \frac{d\omega}{dt} = -gR\sin(\varphi) - \mu \frac{\omega}{|\omega|} * m(g\cos(\varphi) + \omega^2 * R) \end{cases}$$

I-moment bezwładności;

$\epsilon$ - przyspieszenie kątowe;

M- moment sił;

r-odległość od osi obrotu;

$\omega$ - prędkość kątowe;

$\varphi$ - funkcja kąta w czasie;

g-przyspieszenie ziemskie;

$\tilde{r}$ - promień wodzący

$\mu$ -współczynnik tarcia

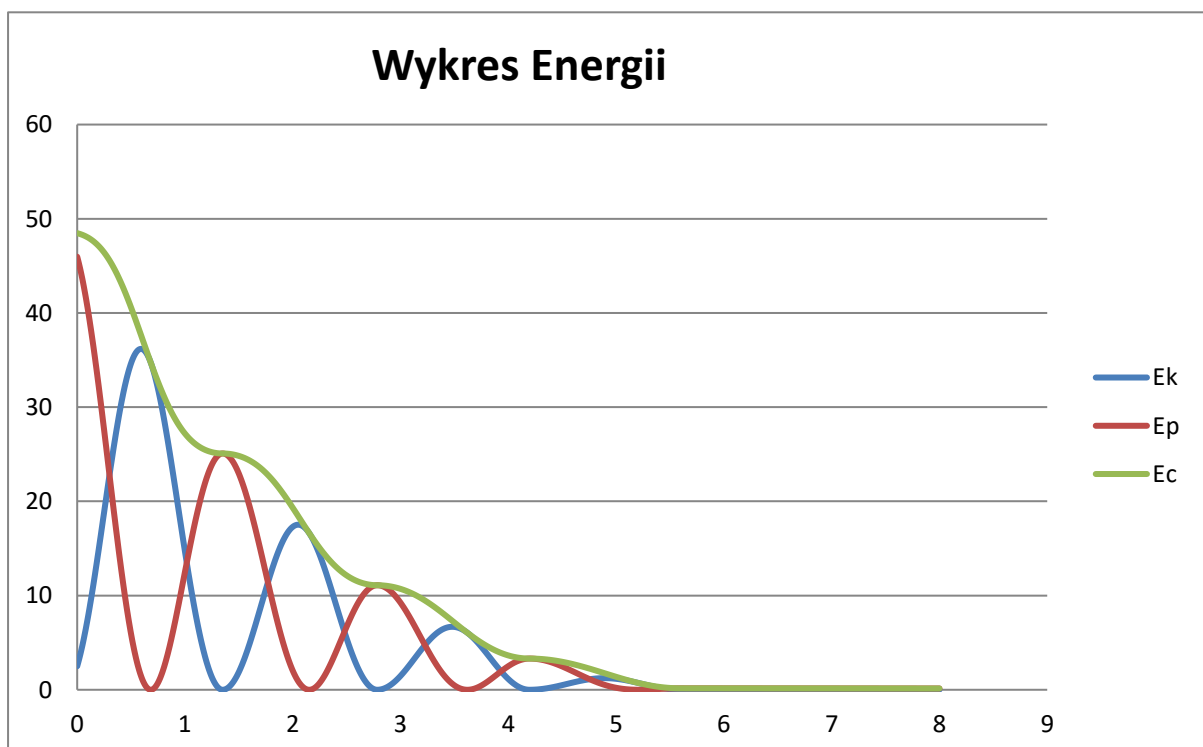
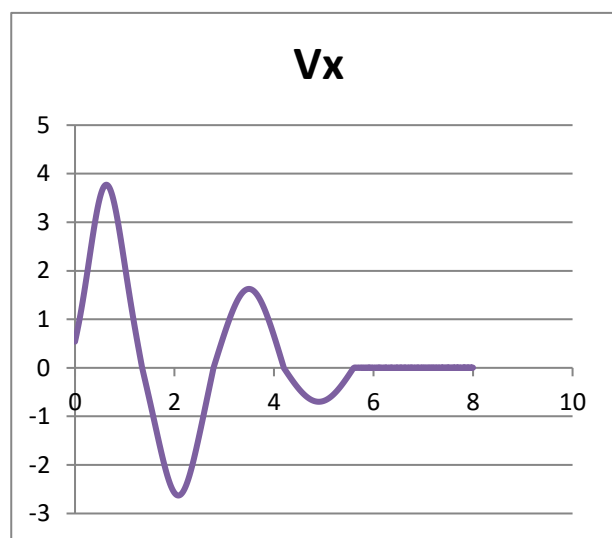
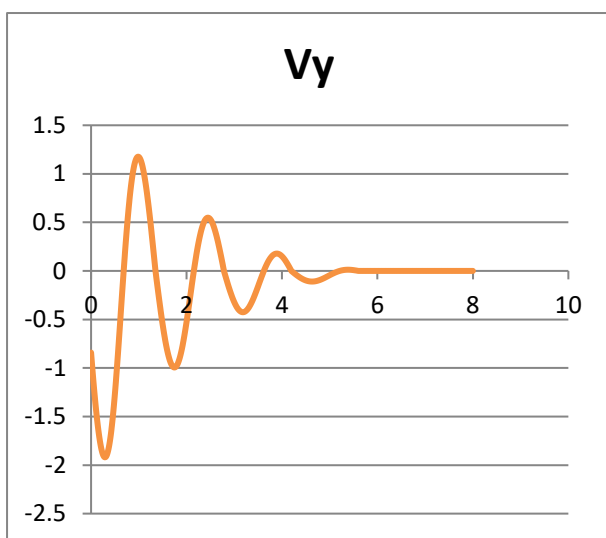
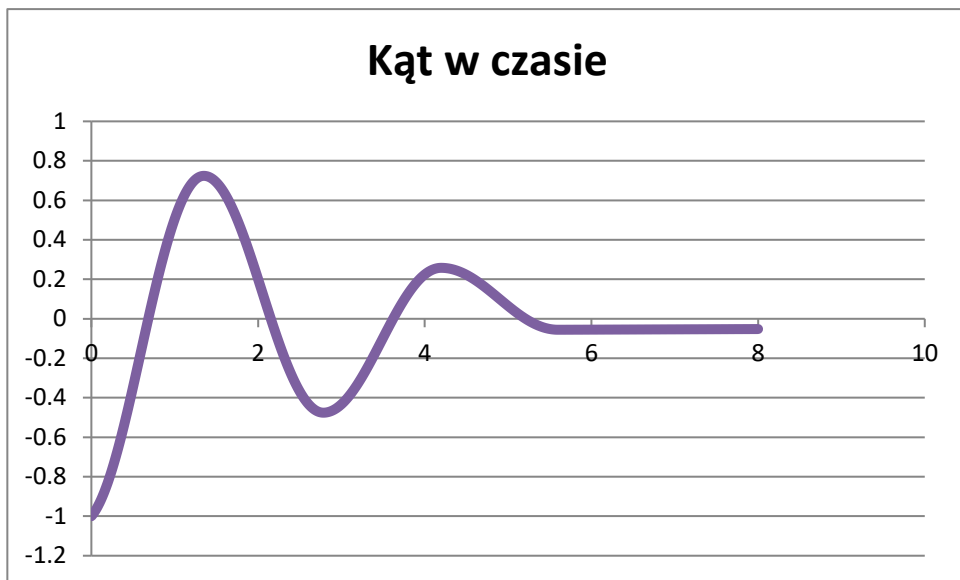
N-siła nacisku

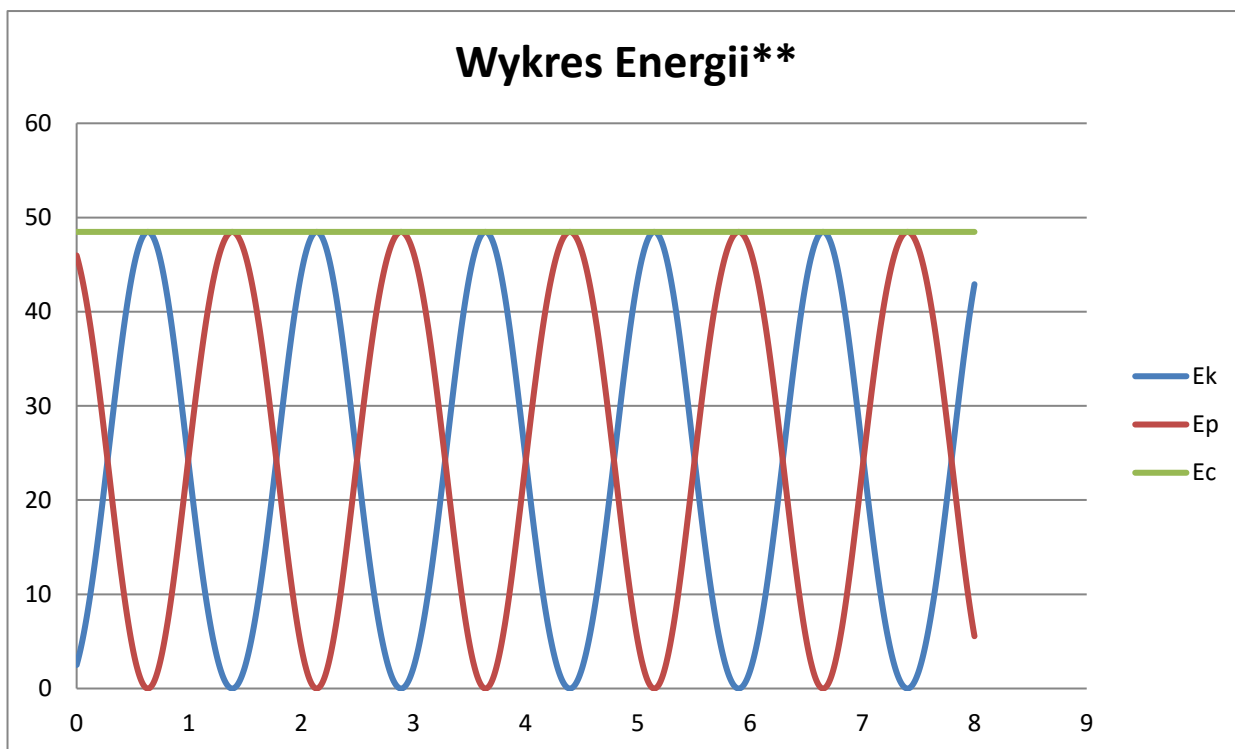
### 3. Opis programu i przykładowe wyniki jego działania

W programie wykorzystywany jest algorytm Rungego-Kutty , który służy do iteracyjnego rozwiązywania równań różniczkowych.

W wyniku działania programu uzyskaliśmy zależności od czasu różnych wielkości\*.





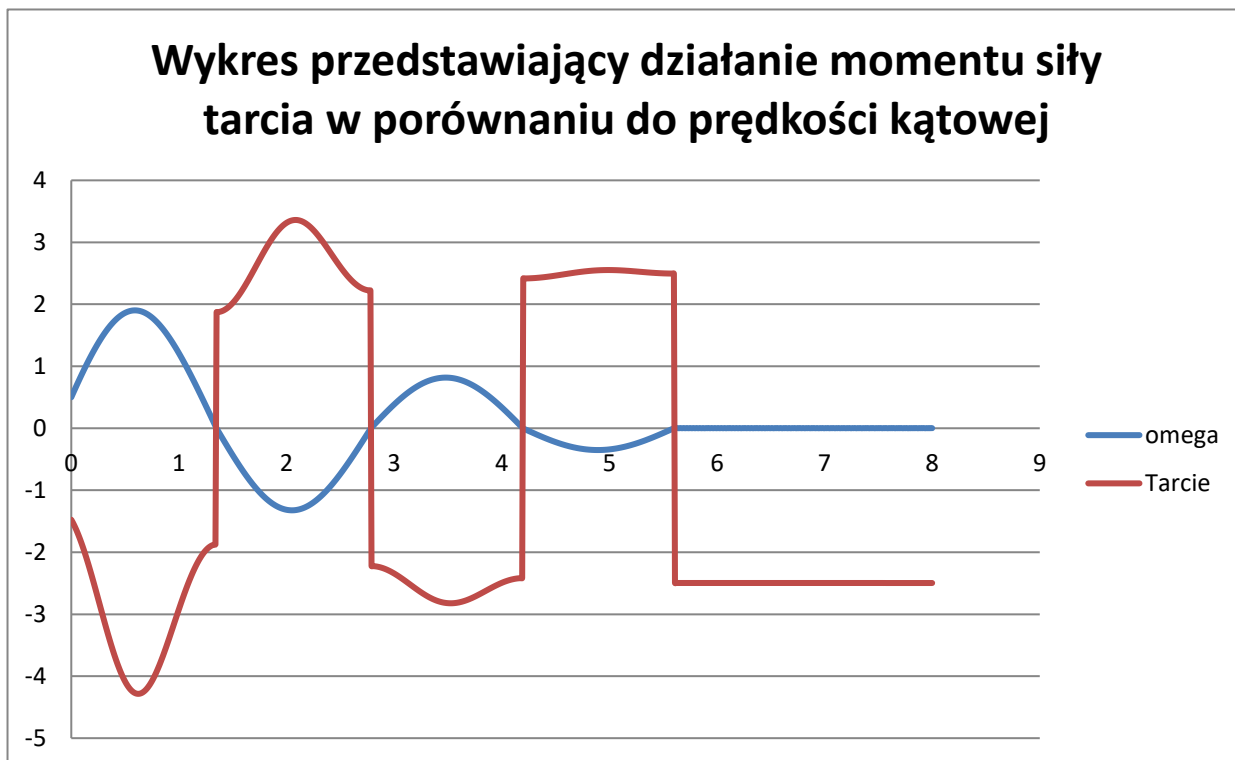


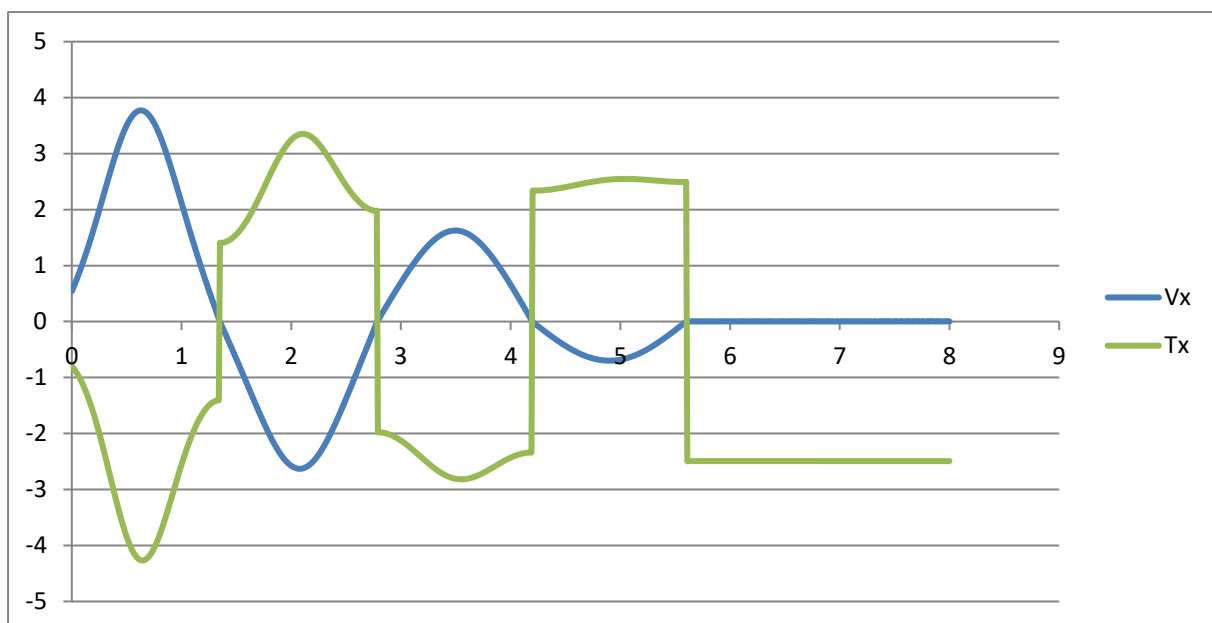
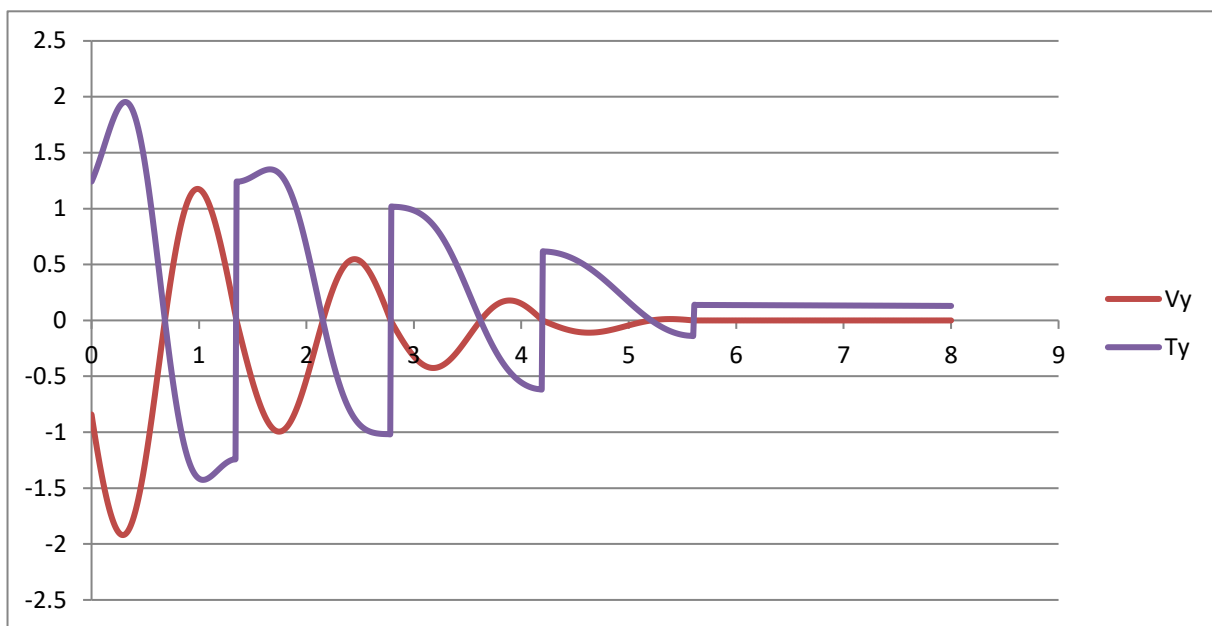
\*Przedstawione wykresy zostały sporządzone w oparciu o poniższe dane początkowe:

$X_0=1.68\text{m}$ ,  $Y_0=0.92\text{m}$ ,  $V_0=0.54\text{m/s}$ ,  $m=2\text{kg}$ ,  $R=2\text{m}$ ,  $\mu=0.1$

\*\* Wykres ze współczynnikiem tarcia 0 (pozostałe dane takie same jak w (\*))

Zauważmy, że na wykresie Energii\*\*, całkowita suma energii jest stała. Oznacza to, że spełniona jest zasada zachowania energii, co potwierdza poprawność symulacji.





Po analizie trzech powyższych wykresów zauważamy, że w żadnej chwili czasu siła tarcia nie napędza ciała, co jest zgodne z podstawową zasadą działania siły tarcia.